

# การวิเคราะห์และเตือนภัยแล้งโดยใช้ระบบสารสนเทศภูมิศาสตร์

## Drought Analysis and Warning based on Geographic Information System

อุรุยา วีสกุล

ภาควิชาวิศวกรรมโยธา คณะวิศวกรรมศาสตร์ มหาวิทยาลัยธรรมศาสตร์ ปัทุมธานี 12121

สุรพันธ์ สันติyanนท์

ภาควิชาวิศวกรรมโยธา คณะวิศวกรรมศาสตร์ มหาวิทยาลัยศรีปัทุม กรุงเทพฯ 10900

### บทคัดย่อ

การวิจัยนี้เป็นความพยายามที่จะพัฒนาแบบจำลองที่สามารถใช้ทำนายภัยแล้งได้ โดยการใช้ปริมาณน้ำฝนเป็นตัวบ่งชี้สภาพภัยแล้ง และใช้ระบบสารสนเทศภูมิศาสตร์เป็นเครื่องมือในการวิเคราะห์การกระจายเชิงพื้นที่ของภัยแล้ง ถุน้ำมายังไฉไลกว่าเดิม ได้ถูกคัดเลือกเป็นพื้นที่ศึกษาเนื่องจากประสบภัยแล้งอย่างสม่ำเสมอ ปริมาณฝนสะสมราย 6 เดือนตั้งแต่กรกฎาคมถึงมิถุนายนจากสถานีวัดน้ำฝนจำนวน 38 สถานีระหว่างปี พ.ศ. 2495 ถึงปี พ.ศ. 2546 ได้ถูกนำมาวิเคราะห์การแจกแจงความถี่เพื่อใช้ในการคำนวณ Standardized Precipitation Index (SPI) เพื่อประเมินความรุนแรงของภัยแล้ง ข้อมูลสถานการณ์ภัยแล้งได้ถูกนำมาเปรียบเทียบกับผลการคำนวณ ซึ่งมีความถูกต้องเพียงร้อยละ 16 ในปี พ.ศ. 2545 แต่กลับเพิ่มขึ้นเป็นร้อยละ 71 ในปี พ.ศ. 2546 Autoregressive Integrated Moving Average (ARIMA) ได้ถูกนำมาใช้ในการทำนายปริมาณฝนราย 6 เดือนของทั้ง 38 สถานี จากผลการพัฒนาแบบจำลองในการทำนายปริมาณฝนพบว่าการทำนายมีความแม่นยำเพียงร้อยละ 51 ถึงร้อยละ 78 ซึ่งเมื่อนำไปใช้ในการทำนายภัยแล้งทำให้ความแม่นยำในการทำนายภัยแล้งลดลงเหลือเพียงร้อยละ 6 ในปี พ.ศ. 2545 และเหลือร้อยละ 19 ในปี พ.ศ. 2546

**คำสำคัญ :** การวิเคราะห์และเตือนภัยแล้ง ระบบสารสนเทศภูมิศาสตร์ การแจกแจงความถี่ แบบจำลองในการทำนายปริมาณฝน

### Abstract

The study aims to develop a drought forecast model by using seasonal rainfall as drought indicator and geographic information system as a tool for analysis of spatial distribution of drought. Yom river basin was selected as study area due to its frequent experience of drought. Seasonal rainfall from January to June of 38 rainfall stations during 1952 to 2003 was analyzed and fitted to the most fitted frequency distribution function. Standardized Precipitation Index (SPI) was adopted as drought indicator. Comparison between observed drought area and estimated drought calculated by SPI reveals that there was only 16% of accuracy of drought estimation in 2002, but accuracy increased to 71% in 2003. Autoregressive Integrated Moving Average (ARIMA) was used to develop seasonal rainfall forecast model which can provide accuracy of forecast only 51% to 78%. When this model was adopted to forecast drought, an accuracy of forecast reduced to 6% in 2002 and to 19% in 2003.

**Keywords :** drought warning system , Rainfall forecast model

## 1. คำนำ

ภัยแล้งเป็นปรากฏการณ์ธรรมชาติที่ทำให้เกิดสภาวะการขาดแคลนน้ำ ซึ่งมีผลกระทบและก่อให้เกิดความสูญเสียต่อมนุษย์ทั้งทางตรงและทางอ้อม โดยเฉพาะประเทศที่ประชากรมีอาชีพเกษตรกรรมเป็นหลัก และเกษตรกรรมนั้นยังต้องพึ่งพาศักยภาพจากธรรมชาติ ภัยแล้งมีผลกระทบโดยตรงต่อการลดลงของผลผลิตทางด้านการเกษตรทั้งหมด และยังมีผลต่อการสูญเสียของมนุษย์ ของประเทศในการบรรเทาความความเดือดร้อนในพื้นที่ที่ประสบปัญหาภัยแล้ง

ภัยแล้งมีคำจำกัดความแตกต่างกันไป แต่โดยทั่วไปภัยแล้ง (Drought) จำแนกออก ได้เป็น 4 ลักษณะ (Wilhitz และ Glantz, 1985) คือ ภัยแล้งเชิงอุตุนิยมวิทยา (Meteorological Drought) หมายถึง สภาวะที่ปริมาณของฝนในช่วงเวลาหนึ่ง ที่น้อยกว่าค่าปกติ ภัยแล้งเชิงอุทกวิทยา (Hydrological Drought) หมายถึง สภาวะที่ปริมาณน้ำผิวดินและปริมาณน้ำใต้ดินที่ลดลง ภัยแล้งเชิงการเกษตร (Agricultural Drought) หมายถึง สภาวะการขาดแคลนน้ำของพืช ภัยแล้งเชิงสังคมและเศรษฐกิจ (Socio-economic Drought) หมายถึง ความสูญเสียของผลผลิตอาหารและทรัพยากรอื่นๆ ที่เกิดจากสภาวะการขาดแคลนน้ำซึ่งมีผลกระทบต่อเศรษฐกิจ

อย่างไรก็ตาม นิยามที่มีอยู่ก็ยังไม่สามารถทำให้เข้าใจถึงภัยแล้งได้อย่างชัดเจน เพราะภัยแล้งเกิดจากปัจจัยหลายอย่างประกอบกัน (McKee และ Edwards, 1997) แต่การศึกษาภัยแล้งที่ผ่านมาในอดีต เช่น Dracup (1980) ได้กล่าวว่าฝนเป็นตัวแปรที่ใช้ในการบ่งบอกภัยแล้ง Landsberg (1982) ได้กล่าวว่าการขาดแคลนฝนเป็นระยะเวลานานๆ เป็นสาเหตุให้เกิดภัยแล้ง สำหรับ McKee และ Edwards (1997) ได้ระบุว่าปัจจัยสำคัญที่ทำให้เกิดภัยแล้ง ก็คือปริมาณฝน ดังนั้นฝนจึงเป็นตัวแปรสำคัญ และมีอิทธิพลต่อความแห้งแล้งขัดเจนกว่าตัวแปรอื่นๆ

สำหรับการศึกษาที่เกี่ยวข้องกับภัยแล้งในประเทศไทยนักจะเป็นการวิเคราะห์พื้นที่เสี่ยงภัยแล้ง เช่น สูนเซกอมพิวเตอร์ มหาวิทยาลัยขอนแก่น (2543) ได้จัดทำระบบสารสนเทศพื้นที่เสี่ยงภัยแล้ง ด้วยการใช้ระบบสารสนเทศภูมิศาสตร์และข้อมูลจากดาวเทียมสำรวจที่ราบริพาก สำหรับพื้นที่ 19 จังหวัดในภาคตะวันออกเฉียงเหนือ การวิเคราะห์การเสี่ยงภัยแล้งในการศึกษาดังกล่าวได้ใช้ปริมาณฝนเฉลี่ยรายปีเป็นตัวแปรและใช้วิธี Decile range ในการชี้วัดระดับความเสี่ยงของภัยแล้ง นอกจากนี้ยังพิจารณาตัวแปรอื่นๆ ประกอบในการกำหนดพื้นที่เสี่ยงภัยแล้งอีกด้วย ได้แก่ ระยะที่ห่างจากแหล่งน้ำ ลักษณะทางกายภาพจากภูมิศาสตร์ฐานกับสภาพการระบบน้ำ ของดิน แผนที่เสี่ยงภัยแล้งเชิงอุตุนิยมวิทยา เชิงอุทกวิทยา และ เชิงกายภาพตลอดจน แผนที่ภัยแล้งที่ได้จากการศึกษาดังกล่าว ซึ่งเป็นข้อมูลพื้นฐานที่เป็นประโยชน์อย่างยิ่งในการวางแผนพัฒนาลุ่มน้ำ

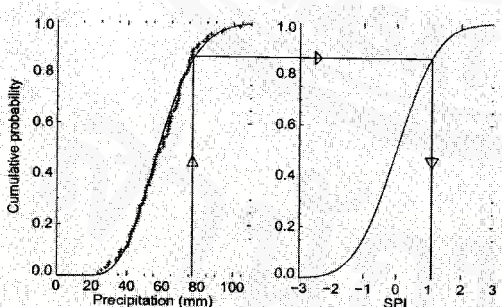
อย่างไรก็ดีความผันแปรของธรรมชาติในแต่ละปีทำให้โอกาสของความเสี่ยงในการเกิดภัยแล้งในพื้นที่นั้นๆ เป็นลักษณะที่เปลี่ยนแปลงไปด้วย ดังจะเห็นได้ว่า ในแต่ละปีกรณีองกันและบรรเทาสาธารณภัย ร่วมกับหน่วยงานต่างๆ ของรัฐที่เกี่ยวข้อง ที่ได้พยายามให้ความช่วยเหลืออย่างต่อเนื่องในการบรรเทาภัยแล้งเป็นประจำทุกปี จึงเป็นที่น่าสนใจอย่างยิ่งในการพัฒนาแบบจำลองที่สามารถใช้ในการทำงานภัยแล้ง ได้อย่างถูกต้องแม่นยำทั้งในเชิงพื้นที่และระดับความรุนแรง ซึ่งหากสามารถพัฒนาได้ ก็จะเกิดประโยชน์ในการเตรียมการป้องกันและบรรเทาภัยแล้ง การศึกษานี้จึงเป็นความพยายามที่จะพัฒนาแบบจำลองที่พิจารณาการเปลี่ยนแปลงของตัวแปรที่ก่อให้เกิดภัยแล้งในแต่ละปี และสามารถที่จะพยากรณ์การเปลี่ยนแปลงนั้นได้โดยในเบื้องต้นได้ศึกษาความสามารถในการใช้ปริมาณน้ำฝนเป็นตัวแปรที่ใช้ในการประเมินภัยแล้ง และใช้วิธีทางสถิติในการกำหนดระดับความรุนแรงของภัยแล้ง โดยใช้ Standardized Precipitation Index เป็นตัวกำหนดระดับความรุนแรงดังกล่าว

## 2. การวิเคราะห์ภัยแล้ง

### 2.1 เกณฑ์การกำหนดภัยแล้งด้วยวิธี Standardized Precipitation Index

ภัยแล้งเป็นภัยธรรมชาติที่เกิดจากปัจจัยหลายอย่าง ประกอบกัน (McKee และ Edwards, 1997) ซึ่งโดยส่วนใหญ่แล้วปัจจัยที่สำคัญที่ทำให้เกิดภัยแล้งก็คือการขาดแคลนฝนซึ่งอาจเกิดจากการที่ฝนมีปริมาณน้อยกว่าปกติ หรือฝนไม่ตกเป็นระยะเวลานานกว่าปกติ ในกรณีนี้จึงเลือกใช้ฝนเป็นปัจจัยสำคัญในการกำหนดภัยแล้งหรือไม่ โดยสมมติว่าหากพื้นที่ใดๆที่พิจารณาไม่มีปริมาณน้ำฝนน้อยกว่าค่าเฉลี่ยให้ถือว่าเกิดภัยแล้ง (Wilhitz และ Glantz, 1985)

ในการกำหนดระดับความแห้งแล้งในการศึกษานี้ได้ใช้วิธี Standardized Precipitation Index (SPI) เมื่อจากเป็นวิธีทางสถิติที่ง่ายไม่ซับซ้อน จึงเป็นที่นิยมใช้ในการทำนายภัยแล้ง (Benjamin, 2002) ในกรณีวิเคราะห์ภัยแล้งโดยการใช้ SPI เริ่มจากการวิเคราะห์ตัวแปรที่ใช้ในการกำหนดภัยแล้งมีการกระจายในลักษณะใด ก่อนคือทฤษฎีการแจกแจงความถี่ให้สามารถใช้อธิบายตัวแปรดังกล่าวได้ดีที่สุด ซึ่งทฤษฎีแจกแจงความถี่ดังกล่าวจะถูกนำมาแปลงให้อยู่ในรูปของการแจกแจงแบบปกตินารูปที่มีค่าเฉลี่ยเท่ากับ 0 และมีค่าความแปรปรวนเท่ากับ 1 ซึ่งสามารถนำไปใช้คำนวณเป็นค่า SPI ได้ดังแสดงรูปที่ 1



รูปที่ 1 การแปลงความน่าจะเป็นที่เท่ากัน (Equiprobability)

จากการแจกแจงแบบแกนนำไปเป็นการแจกแจงแบบปกติ (Benjamin, 2002)

ในการคำนวณแปลงค่าความน่าจะเป็นสะสมให้ไปอยู่ในรูปของการแจกแจงปกติ สามารถทำได้ดังนี้ (Abramowitz และ Stegun, 1965)

เมื่อ  $0 < F(x) \leq 0.5$

$$z = SPI = -\left( t - \frac{c_0 + c_1 t + c_2 t^2}{1 + d_1 t + d_2 t^2 + d_3 t^3} \right) \quad (1)$$

เมื่อ  $0.5 < F(x) \leq 1.0$

$$z = SPI = +\left( t - \frac{c_0 + c_1 t + c_2 t^2}{1 + d_1 t + d_2 t^2 + d_3 t^3} \right) \quad (2)$$

โดยที่

$F(x)$  คือ ความถี่สะสมของตัวแปร  $x$

$$t = \sqrt{\ln\left(\frac{1}{(F(x))^2}\right)} \quad \text{เมื่อ } 0 < F(x) \leq 0.5 \quad (3)$$

$$t = \sqrt{\ln\left(\frac{1}{(1.0-F(x))^2}\right)} \quad \text{เมื่อ } 0.5 < F(x) \leq 1.0 \quad (4)$$

โดยที่  $c_0 = 2.515517$ ,  $c_1 = 0.802853$ ,  $c_2 = 0.010328$

$d_1 = 1.432788$ ,  $d_2 = 0.189269$ ,  $d_3 = 0.001308$

เมื่อค่า SPI ของตัวแปรที่สนใจคำนวณได้แล้ว จะถูกนำไปใช้กำหนดความรุนแรงของภัยแล้ง จากการศึกษาของ Agnew (1999) ชี้ให้เห็นว่าระดับความรุนแรงของภัยแล้ง ควรแบ่งออกเป็น 3 ระดับ จึงจะมีความสอดคล้องกับลักษณะการกระจายของตัวแปร ซึ่งโดยทั่วไปแบ่งออกเป็น 7 ระดับ (ตารางที่ 1) โดยมีระดับที่สูงกว่าเกณฑ์ปกติ 3 ระดับ และมีระดับที่ต่ำกว่าเกณฑ์ปกติอยู่ 3 ระดับ ซึ่งนำไปใช้ในการบ่งชี้ความรุนแรงของภัยแล้งก่อร้าวคือค่อนข้างแล้ง แล้ง และแล้งมาก (ตารางที่ 1) อย่างไรก็ได้ในการศึกษาดังกล่าวข้างต้นไม่มีการวิเคราะห์ที่ทำให้สามารถสรุปได้ว่าเกณฑ์การกำหนดความรุนแรงของภัยแล้งดังกล่าวมีความเหมาะสมสมกับพื้นที่ศึกษา (ประเทศไทย) หรือไม่และเพียงใด ดังนั้นในการศึกษานี้จึงพิจารณาสถานการณ์ภัยแล้งเพียงแค่หรือไม่แล้งเท่านั้น โดยหากค่าของ SPI สูงกว่าเกณฑ์ปกติเมื่อว่าไม่แล้ง และหากค่าของ SPI ต่ำกว่าเกณฑ์ปกติให้ถือว่าเกิดสถานการณ์ภัยแล้ง

ตารางที่ 1 เกณฑ์การบ่งชี้สภาวะฟันและภัยแล้ง<sup>1</sup>  
โดยใช้ค่าSPI

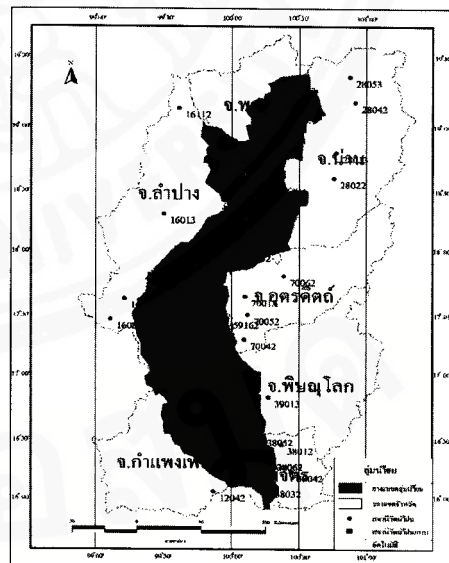
SPI	เกณฑ์การบ่งชี้
สภาวะฝัน	
$\geq 1.50$	ผ่นตกดีมาก
1.00 ถึง 1.49	ผ่นตกดี
0.50 ถึง 0.99	ผ่นตกค่อนข้างดี
0.49 ถึง -0.49	ผ่นตกปากติ
-0.50 ถึง -0.99	ค่อนข้างแล้ง
-1.00 ถึง -1.49	แล้ง
$-1.50 \leq$	แล้งจัด

## 2.2 ข้อมูลที่ใช้ในการวิเคราะห์ภัยแล้ง

ในการศึกษานี้ได้เลือกใช้ปริมาณน้ำฝนรายฤดูกาล เป็นปัจจัยสำคัญในการบ่งชี้ภัยแล้ง จากการศึกษาลักษณะ การกระจายของฝน ตามฤดูกาล ในพื้นที่อุ่มน้ำขมพบร่วมกับ ฤดูแล้งซึ่งเริ่มจากเดือนพฤษภาคม ในปี 2535 เดือนเมษายน ของปีต่อไป โดยหลักการแล้วปริมาณฝนในช่วงฤดูแล้งที่ นำมาใช้ในการวิเคราะห์ ควรจะเป็นฝนสะสมรายเดือน ในช่วงดังกล่าว หากแต่ในการเก็บรวบรวมข้อมูล สถานการณ์ภัยแล้งที่เกิดขึ้นจริงในพื้นที่ศึกษา มีข้อจำกัด ทำให้ ไม่สามารถใช้ช่วงเวลาดังกล่าวในการพิจารณา ได้ ก่อให้เกิดข้อมูลสถานการณ์ภัยแล้งที่จะนำมาใช้ เปรียบเทียบกัน ผลการวิเคราะห์ทางทฤษฎีเป็นข้อมูลที่ ได้จากการบ่มป้องกันและบรรเทาสาธารณภัย ซึ่งโดยปกติ ตั้งแต่ปีพ.ศ.2538 ถึงปีพ.ศ.2544 มีการรายงานกันเพียงปีละ 1 ครั้ง โดยไม่ได้กำหนดค่าภัยแล้งในเดือนใด และต่อมาใน ปี พ.ศ. 2545 และปี พ.ศ. 2546 การรายงานมีความละเอียด มากขึ้น โดยได้รายงานเป็นปีละ 2 ครั้ง คือ ครึ่งปีแรก (ม.ค.- มิ.ย.) และ ครึ่งปีหลัง (ก.ค.-ธ.ค.) ด้วยข้อจำกัดดังกล่าว และเพื่อให้การเปรียบผลการวิเคราะห์ภัยแล้งกับ สถานการณ์ การเกิดภัยแล้งจริงอยู่ในช่วงเดียวกัน จึง จำเป็นต้องใช้ปริมาณฝนสะสมตั้งแต่เดือนกรกฎาคมถึง เดือนมิถุนายนเป็นตัวแปรที่ใช้ในการศึกษานี้

นอกจากนี้ในการรายงานภัยแล้ง มักจะรายงานในลักษณะความเสี่ยงหายที่เกิดขึ้น เช่น จำนวนประชากรในหมู่บ้านที่ได้รับความเดือดร้อน พื้นที่เกษตรกรรมที่เสียหาย จำนวนปศุสัตว์ที่ได้รับความเสียหาย และจำนวนเงินงบประมาณที่ใช้ไปในการให้ความช่วยเหลือร้ายภูริในพื้นที่ที่ประสบภัยแล้ง ในปัจจุบันยังไม่มีข้อกำหนดในการแบ่งระดับความรุนแรงของภัยแล้งว่าเสี่ยงหายระดับใด จึงจัดว่าเป็นความเสี่ยงหายรุนแรงที่เรียกว่าแล้งจัด และระดับใดเรียกว่า แล้งปานกลาง ระดับใดเรียกว่าค่อนข้างแล้ง ในการศึกษานี้จึงพิจารณาว่าหากมีรายงานภัยแล้งเกิดขึ้นในพื้นที่ใดให้อีกว่าเกิดภัยแล้ง และพิจารณาเพียงว่าเกิดภัยแล้งหรือไม่เกิดภัยแล้งเท่านั้น

ข้อมูลฝ่urenรายเดือนของสถานีวัดน้ำฝน 38 สถานีใน  
อุณหภูมิและอุณหภูมน้ำในภาคเทือง (รูปที่ 2) ได้ถูกเก็บรวบรวมมา  
เพื่อใช้ในการศึกษา โดยใช้ข้อมูลตั้งแต่ปี พ.ศ. 2495 ถึงปี  
พ.ศ. 2546 ข้อมูลภัยแล้งเก็บรวบรวมได้จาก กรมป้องกัน  
และบรรเทาสาธารณภัย ได้เลือกใช้สำหรับประเมินความ  
ถูกต้องของแบบจำลอง เนพาะปีที่มีข้อมูลจะเอียดที่สุด คือ  
ปี พ.ศ. 2545 และ พ.ศ. 2546 เท่านั้น



## รูปที่ 2 ตำแหน่งของสถานีวัดน้ำฝนทั้งหมดที่ใช้ใน การศึกษา

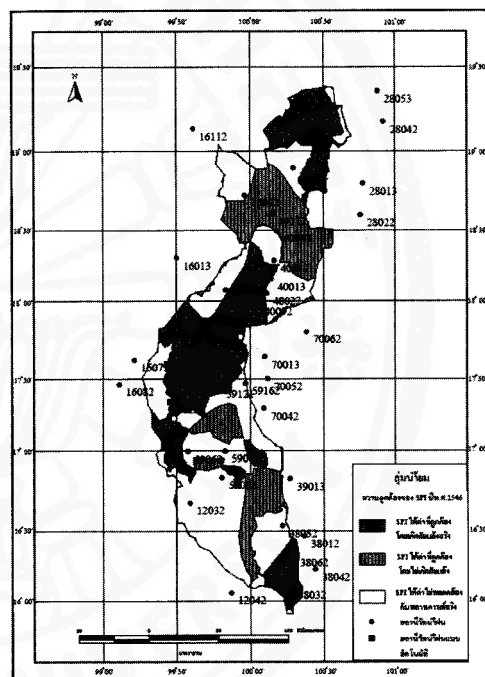
### 2.3 ความแม่นยำในการประเมินภัยแล้ง

ข้อมูลปริมาณฝนสะสมราย 6 เดือน ตั้งแต่เดือน มกราคมถึงเดือนมิถุนายนของสถานีวัดน้ำฝน 38 แห่ง ได้ถูกนำมาวิเคราะห์เพื่อหาทฤษฎีแจกแจงความถี่ที่เหมาะสมที่สุด โดยได้ทดลองใช้ทฤษฎีแจกแจงความถี่ 7 แบบใน การวิเคราะห์ คือทฤษฎีแจกแจงความถี่แบบปกติ แบบ Log Normal แบบWeibull แบบGumbel แบบPearson Type 3 แบบLog Pearson Type 3 และ แบบGamma และ ได้ใช้การทดสอบความเหมาะสมแบบ Kormokorov-Smornov ในตรวจสอบว่าทฤษฎีใดสามารถใช้อธิบายลักษณะการแจกแจงความถี่ของข้อมูลได้ดีที่สุด โดยได้เลือกใช้ทดสอบที่ระดับความมั่นใจสำคัญที่ 0.10 หรือมีระดับความเชื่อมั่น 90 เปอร์เซ็นต์ ผลการศึกษาแสดงให้เห็นว่า ข้อมูลส่วนใหญ่เข้ากันได้ดีกับทฤษฎีแจกแจงความถี่แบบปกติ แบบWeibull แบบ Gumbel และแบบ Gamma ตั้งแต่เดือนกรกฎาคมถึงกันยายน ตามตารางที่ 2

จากการศึกษาดังแสดงในตารางที่ 2 ชี้ให้เห็นว่า ทฤษฎีแจกแจงความถี่แบบ Gumbel สามารถใช้อธิบายลักษณะการแจกแจงความถี่ของข้อมูลได้มากที่สุด คือ 10 สถานี จาก 38 สถานี ดังนั้นในการศึกษานี้จึงเลือกใช้ทฤษฎีดังกล่าวในการคำนวณในลำดับต่อไป

ในการตรวจสอบความแม่นยำของการใช้ SPI ของฝนราย 6 เดือนในการประเมินภัยแล้ง ได้ใช้ปริมาณฝนราย 6 เดือนของทุกสถานีในปี พ.ศ. 2545 และ พ.ศ. 2546 มาคำนวณหาค่า SPI และเปรียบเทียบกับรายงานสถานการณ์ภัยแล้งที่เกิดขึ้นจริง โดยการใช้ระบบสารสนเทศภูมิศาสตร์ในการคำนวณหาความถูกต้องในพื้นที่ โดยเปรียบเทียบกับพื้นที่ที่เกิดภัยแล้งจริงกับพื้นที่ที่คำนวณได้จาก SPI ว่า เกิดภัยแล้ง ซึ่งได้จากการคำนวณการกระจายเชิงพื้นที่ของค่า SPI ที่ได้มาจากการตัดสินใจฝนโดยใช้วิธี Spline สำหรับพื้นที่ที่เกิดภัยแล้งจริงนั้นได้จากข้อมูลการรายงานสถานการณ์ภัยแล้งของกรมป้องกันและบรรเทาสาธารณภัย ซึ่งรายงานเป็นรายเดือนในปี พ.ศ. 2545 และปี พ.ศ. 2546 ผลการเปรียบเทียบที่ให้เห็นว่าในปี พ.ศ. 2545 ความแม่นยำในการประเมิน มีเพียงข้อละ 16 แต่กลับสูงขึ้น

เป็นร้อยละ 71 ในปี พ.ศ. 2546 ดังแสดงในรูปที่ 3 ซึ่งพิจารณาความถูกต้องของการคำนวณเป็น 2 กรณี คือ คำนวณค่า SPI ได้ถูกต้องว่าเกิดภัยแล้งจริง และคำนวณค่า SPI ได้ถูกต้องว่าไม่เกิดสถานการณ์ภัยแล้ง ส่วนความผิดพลาดของการคำนวณเกิดจาก การที่ SPI ที่คำนวณได้บ่งชี้ว่าเกิดภัยแล้งแต่สถานการณ์จริงกลับไม่เกิดภัยแล้ง หรือในทางกลับกันหาก SPI ที่คำนวณได้บ่งชี้ว่าไม่เกิดภัยแล้งแต่สถานการณ์จริงเกิดภัยแล้ง



รูปที่ 3 ความถูกต้องของผลการคำนวณ SPI กับสถานการณ์ภัยแล้งในปี พ.ศ. 2546

จากการประเมินดังกล่าว ชี้ให้เห็นว่าขั้นตอนที่มีการปรับปรุงและพัฒนาแบบจำลองที่ใช้ในการประเมินโดยรวมลดลงพิจารณาช่วงเวลาของฝนสะสมราย 6 เดือน ใหม่ให้สอดคล้องกับดุลการลงร่องตามธรรมชาติกล่าวคือ การใช้ฝนสะสมตั้งแต่เดือนพฤษภาคมถึงเดือนเมษายนในการวิเคราะห์ ซึ่งขณะนี้คุมะผู้วิจัยกำลังดำเนินการวิจัยซึ่งจะได้นำเสนอในลำดับต่อไป

นอกจากนี้ในสภาพความเป็นจริงของการเกิดภัยแล้ง มีได้เกิดจากฝนเพียงอย่างเดียวที่มีปัจจัยอื่นอีก ซึ่งควรนำมาพิจารณาร่วมด้วย เช่น แหล่งน้ำที่มีอยู่ในพื้นที่ปริมาณกักเก็บและการกระจายตัวของแหล่งน้ำ ปริมาณน้ำท่าตามธรรมชาติ ปริมาณน้ำได้ดินเป็นต้น

ประการสุดท้ายที่สำคัญอีกประการหนึ่งคือ ข้อเท็จจริงภาคสนามซึ่งเก็บรวบรวมมาได้ ยังมีความละเอียด ไม่เพียงพอทั้งในเชิงพื้นที่และเวลา ทำให้ไม่สามารถใช้เปรียบเทียบได้อย่างมั่นใจ อ่อนไหวต่อการเปลี่ยนแปลง ไม่สามารถนำผลลัพธ์ที่ได้พิจารณาเก็บรวบรวม ข้อมูลให้ละเอียดมากขึ้น โดยละเอียดจากระดับลงเป็นระดับอ่อนไหว และละเอียดจากปีละ 1 ครั้งเป็นปีละ 2 ครั้ง เป็นต้น หาก รัฐบาลให้การสนับสนุนและให้ความสำคัญ กับหน่วยงานของรัฐในเรื่องของการเก็บรวบรวมข้อมูล เหล่านี้ให้มากขึ้น การพัฒนาแบบจำลองที่จะสามารถทำได้ดีขึ้น ความมั่นใจในการคำนวณจะมีมากขึ้น ซึ่งจะช่วยประโภชน์ในการพยากรณ์และเตือนภัย รวมถึงการบรรเทาให้แก่พื้นที่ของประชาชนได้มากขึ้นด้วย

### 3. การทำนายภัยแล้ง

ในการศึกษาเพื่อทำนายภัยแล้งที่จะเกิดขึ้น ได้ทำการพัฒนาแบบจำลองที่ใช้ในการทำนายฝนโดยใช้แบบจำลองประเภทอนุกรมเวลาที่เรียกว่า Autoregressive Integrated Moving Average (ARIMA) โดยใช้ทำนายปริมาณฝนสะสมราย 6 เดือน (มกราคม ถึง มิถุนายน) แล้ว จึงคำนวณค่า SPI จากปริมาณฝนที่ทำนายได้ดังกล่าว เพื่อนำมาคำนวณที่ได้มาใช้เป็นตัวชี้วัดที่บ่งบอกว่า จะเกิดภัยแล้งขึ้นหรือไม่ มีการกระจายเชิงพื้นที่อย่างไร และมีความรุนแรงเพียงใด ซึ่ง ARIMA Model มีสมการดังนี้

$$\hat{R}_{t+1} = \alpha + \frac{\theta(B)}{\phi(B)} \varepsilon_t \quad (5)$$

เมื่อ  $t$  คือ indexes time

$\hat{R}_{t+1}$  คือ response series  $R_t$  หรือ ผลต่าง

(difference) ของ response series

$\alpha$  คือ mean term

$B$  คือ backshift operator ซึ่งมีค่าเท่ากับ  $BR_t = R_{t-1}$

$\phi(B)$  คือ autoregressive operator ซึ่งสามารถแสดงในรูปแบบของ back shift operator ได้ดังนี้

$$\phi(B) = 1 - \phi_1 B - \dots - \phi_p B^q \quad (6)$$

$\theta(B)$  คือ moving-average operator สามารถแสดงในรูปแบบของ back shift operator ได้ดังนี้

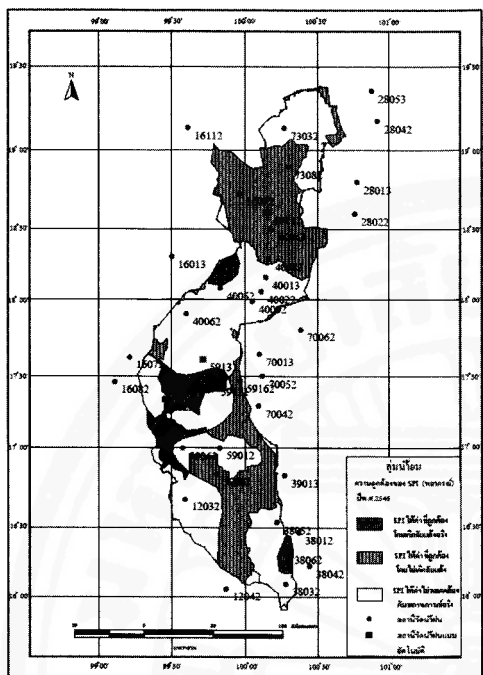
$$\theta(B) = 1 - \theta_1 B - \dots - \theta_q B^q \quad (7)$$

$\varepsilon_t$  คือ independent disturbance หรืออาจเรียกว่า random error

ปริมาณฝนสะสมราย 6 เดือน(มกราคม ถึง มิถุนายน) ตั้งแต่ปี พ.ศ. 2495 ถึงปี พ.ศ. 2544 ได้ถูกนำมาวิเคราะห์เพื่อหาว่า ARIMA แบบใดที่เหมาะสมกับข้อมูลมากที่สุด ผลการวิเคราะห์ที่ให้เห็นว่ามีได้หลากหลายรูปแบบ โดยมีความผิดพลาดในการคำนวณตั้งแต่ 22% ถึง 49% ดังแสดงในตารางที่ 3

เมื่อนำมาแบบจำลองดังกล่าวมาใช้ในการพยากรณ์ฝนปี พ.ศ. 2545 และปี พ.ศ. 2546 พบว่ามีความผิดพลาดในการทำนายเฉลี่ยเป็น 27% และ 21% ตามลำดับ

เมื่อนำมาแบบจำลองที่ใช้ในการทำนายฝนมาใช้กับสถานีต่างๆ แล้วได้นำมาฝนดังกล่าวไปคำนวณหาค่า SPI ซึ่งถือว่าเป็นการทำนายภัยแล้งในปี พ.ศ. 2545 และปี พ.ศ. 2546 ซึ่งพบว่าเมื่อนำมาผลการการทำนายสถานการณ์ภัยแล้งไปเปรียบเทียบกับสถานการณ์จริง ความถูกต้องของการทำนายลดลงเหลือเพียง 6% ในปี พ.ศ. 2545 และเหลือเพียง 19% ในปี พ.ศ. 2546 ดังแสดงในรูปที่ 4 ซึ่งแสดงให้เห็นว่ายังคงต้องมีการพัฒนาทั้งแบบจำลองที่ใช้ในการทำนายฝน รวมทั้งแบบจำลองที่ใช้ในการประเมินสถานการณ์ภัยแล้งอีกด้วย



รูปที่ 4 ความถูกต้องของการพยากรณ์ภัยแล้งโดยการคำนวณผ่านและใช้ SPI ในการประเมินสถานการณ์ภัยแล้งในปี พ.ศ. 2546

#### 4. สรุปและการศึกษาในขั้นต่อไป

การศึกษาวิจัยนี้เป็นความพยายามในการพัฒนาแบบจำลองที่ใช้ในการพยากรณ์ภัยแล้ง จากการศึกษาในเบื้องต้นนี้ได้เห็นว่า ยังคงต้องมีการพัฒนาแบบจำลองต่อไปเพื่อให้สามารถนำมาใช้ประโยชน์ได้จริง ซึ่งประเด็นในการศึกษาในลำดับต่อไปเป็นการใช้ตัวแปรทางอุทกวิทยาอื่นๆ มาใช้ในการพิจารณาสภาพภัยแล้งร่วมกับปริมาณฝน และปัจจัยทางภysis อื่นๆ เช่น แหล่งน้ำที่มีในพื้นที่ ปริมาณเก็บกัก เป็นต้น นอกจากนี้ยังต้องทดลองใช้ตัวชี้วัดแบบอื่นๆ เพื่อนำมาเปรียบเทียบว่าตัวชี้วัดใดสามารถบ่งบอกสภาพภัยแล้งได้เหมาะสมที่สุด ในขณะเดียวกันก็ต้องพยายามปรับปรุงและพัฒนาแบบจำลองที่ใช้ในการพยากรณ์ตัวแปรต่างๆ เหล่านี้ให้แม่นยำยิ่งขึ้น ด้วย โ dik การใช้เทคนิคการคำนวณในรูปแบบอื่นเช่น

Artificial Neural Network Model ขณะผู้วิจัยได้กำลังดำเนินการวิจัยในประเด็นเหล่านี้ ซึ่งจะได้นำเสนอในลำดับต่อไป

#### 5. กิตติกรรมประกาศ

ผู้วิจัยได้รับของขวัญกรรมอุตุนิยมวิทยา กรมชลประทานและกรมป้องกันและบรรเทาสาธารณภัย ที่ได้ให้ความอนุเคราะห์ข้อมูลเป็นอย่างดี ซึ่งทำให้สามารถทำการวิจัยให้สำเร็จลุล่วงไปได้

#### 6. เอกสารอ้างอิง

- [1] ศูนย์คอมพิวเตอร์ มหาวิทยาลัยขอนแก่น, โครงการพัฒนาระบบสารสนเทศพื้นที่เสี่ยงภัยแล้ง, สำนักงานปลัดกระทรวงวิทยาศาสตร์ เทคโนโลยีและสิ่งแวดล้อม. ขอนแก่น, 2543.
- [2] Abramowitz, M., and I.A. Stegun (eds.), Handbook of Mathematical Functions with Formulas, Graphs, and Mathematical Tables, Dover Publications, Inc., New York, 1046pp, 1965.
- [3] Agnew, T.C., Using the SPI to Identify Drought, Drought Network News, Volume 12 No. 1, Winter 1999 – Spring 2000.
- [4] Benjamin L.H., The long-range predictability of European drought, Thesis of Doctor degree, University of London, England, 2002.
- [5] McKee, T.B. and D.C. Edwards, Characteristics of 20<sup>th</sup> century drought in the United States at multiple time scale , Atmospheric Science , Paper No.634, Department of Atmospheric Science, Colorado State University Fort Collins, 151pp, 1997.

**ตารางที่ 2 ทฤษฎีเจกแจงความถี่ที่เหมาะสมกับการเจกแจงความถี่ของปริมาณฝนสะสมราย 6 เดือน  
ของสถานีวัดน้ำฝนในคุณน้ำแม่น้ำขม**

Station NO	Normal Devi	Normal Devi	LN Devi	Weibull Devi	Gumbel Devi	P3 Devi	LP3 Devi	Gamma Devi	K-S Test Devi <sub>crit</sub> =						
12032	/	0.0808	/	0.0539	/	0.0781	/	0.0490	/	0.0573	/	0.1183	/	0.0492	0.1708
12042	/	0.1010	/	0.0673	/	0.0806	/	0.0519	O	N.A.	/	0.0769	/	0.0472	0.1780
16013	/	0.1069	/	0.0759	/	0.1054	/	0.0689	O	N.A.	O	N.A.	/	0.0891	0.1692
16072	/	0.0939	/	0.0403	/	0.0949	/	0.0453	O	N.A.	/	0.0405	/	0.0551	0.1708
16082	/	0.0644	/	0.1310	/	0.0646	/	0.1184	/	0.0611	O	0.2234	/	0.1069	0.1819
16092	/	0.1272	O	0.2861	/	0.1234	/	0.0767	/	0.0923	O	0.1718	/	0.0956	0.1692
16112	/	0.0631	/	0.0638	/	0.0464	/	0.0653	/	0.0537	/	0.0758	/	0.0632	0.1799
16220	/	0.0955	/	0.1364	/	0.0931	/	0.1194	/	0.0859	/	0.1659	/	0.1134	0.2490
28013	/	0.0540	/	0.0962	/	0.0528	/	0.0963	/	0.0612	/	0.1242	/	0.0814	0.1692
28022	/	0.0986	/	0.1629	/	0.0829	/	0.1625	/	0.1202	O	0.2755	/	0.1437	0.1725
28042	/	0.0585	/	0.0895	/	0.0655	/	0.0667	O	N.A.	/	0.1339	/	0.0708	0.1692
28053	/	0.0366	O	0.4473	/	0.0437	/	0.0919	/	0.0366	/	0.1154	/	0.0547	0.1692
38012	/	0.0480	/	0.0928	/	0.0516	/	0.0957	/	0.0568	/	0.1208	/	0.0771	0.1692
38032	/	0.0439	/	0.0939	/	0.0379	/	0.0810	O	N.A.	/	0.1585	/	0.0672	0.1725
38042	/	0.0798	/	0.1258	/	0.0648	/	0.1486	/	0.1164	O	0.2097	/	0.1138	0.1799
38052	/	0.1041	/	0.0644	/	0.0985	/	0.0596	/	0.0664	/	0.0650	/	0.0606	0.1799
38062	/	0.1519	O	0.3113	/	0.1264	/	0.1421	O	N.A.	/	0.1816	/	0.1365	0.2490
39013	/	0.0612	/	0.0814	/	0.0687	/	0.0559	/	0.0572	/	0.1082	/	0.0688	0.1692
40013	/	0.0934	/	0.0582	/	0.0948	/	0.0533	O	N.A.	/	0.0608	/	0.0709	0.1692
40022	/	0.0380	/	0.0922	/	0.0378	/	0.0701	/	0.0289	/	0.1636	/	0.0597	0.1692
40043	/	0.1010	/	0.0679	/	0.1009	/	0.0864	/	0.0927	/	0.1072	/	0.0611	0.1725
40052	/	0.0699	/	0.1373	/	0.0611	/	0.0579	/	0.0618	/	0.1272	/	0.0661	0.1692
40062	/	0.1311	/	0.0763	/	0.1162	/	0.0668	O	N.A.	/	0.1415	/	0.0828	0.1799
40082	/	0.0784	/	0.0649	/	0.0713	/	0.0647	/	0.0673	/	0.1300	/	0.0569	0.1860
40092	/	0.0558	/	0.0542	/	0.0732	/	0.0700	/	0.0503	/	0.0586	/	0.0474	0.2006
40111	/	0.1078	/	0.1551	/	0.0902	/	0.1780	/	0.1172	/	0.1912	/	0.1426	0.2265
59012	/	0.1056	/	0.1091	/	0.0784	/	0.0721	/	0.0677	/	0.1686	/	0.0700	0.1708
59062	/	0.1191	/	0.1486	/	0.1082	/	0.0504	O	N.A.	/	0.0383	/	0.0694	0.2006
59082	/	0.0611	/	0.1265	/	0.0675	/	0.1242	/	0.0614	/	0.1929	/	0.1052	0.2033
59121	/	0.0473	/	0.1182	/	0.0585	/	0.0928	/	0.0541	/	0.1762	/	0.0905	0.1780
59131	/	0.1081	/	0.1860	/	0.1123	/	0.0542	O	N.A.	O	N.A.	/	0.0734	0.2006
59162	/	0.1289	/	0.1087	/	0.0773	/	0.0832	/	0.1014	/	0.1400	/	0.0880	0.2348
70013	/	0.0797	/	0.0307	/	0.0778	/	0.0295	/	0.0443	/	0.0284	/	0.0487	0.1692
70042	/	0.1139	/	0.0493	/	0.1016	/	0.0596	/	0.0923	/	0.0704	/	0.0743	0.1743
70052	/	0.0494	/	0.1039	/	0.0548	/	0.1086	/	0.0544	/	0.1563	/	0.0837	0.1692
70062	/	0.1135	/	0.1139	/	0.0989	/	0.0937	O	N.A.	/	0.1377	/	0.0883	0.1692
73032	/	0.0649	/	0.0553	/	0.0738	/	0.0510	O	N.A.	/	0.0584	/	0.0513	0.1743
73082	/	0.0574	/	0.0694	/	0.0697	/	0.0652	/	0.0514	/	0.0858	/	0.0669	0.2440

**หมายเหตุ** / หมายถึงการเจกแจงความถี่ที่ได้จากการสังเกตเข้ากับการเจกแจงความที่คาดหมาย ได้ดี

O หมายถึงการเจกแจงความถี่ที่ได้จากการสังเกตเข้ากับการเจกแจงความที่คาดหมาย ได้ไม่ดี

N.A. หมายถึง ไม่สามารถใช้งานได้

**ตารางที่ 3 แบบจำลอง ARIMA ที่ใช้ในการพยากรณ์ฝนสะสมราย 6 เดือน(มกราคมถึงมิถุนายน)  
ของสถานีวัดน้ำฝนในลุ่มน้ำยมและบริเวณใกล้เคียง**

ชื่อสถานี	รหัสสถานี	แบบจำลองที่เหมาะสม	ค่าความผิดพลาด(%)
จังหวัดกำแพงเพชร			
อำเภอพรานกระต่าย	12032	ARIMA(4,0,1)	36.86
อำเภอขาณุวรลักษบุรี	12042	ARIMA(1,1,1)	37.60
จังหวัดลำปาง			
อำเภอเมืองลำปาง	16013	ARIMA(4,0,1)	28.29
อำเภอเดิน	16072	ARIMA(4,0,1)	32.94
อำเภอแม่พริก	16082	ARIMA(1,1,1)	26.77
อำเภอจาว	16092	ARIMA(4,0,1)	33.58
อำเภอวังเหนือ	16112	ARIMA(4,0,1)	48.43
สถานี Y.26 อำเภอเดิน	16220	ARIMA(8,1,1)	47.05
จังหวัดน่าน			
อำเภอเมืองน่าน	28013	ARIMA(6,0,1)	38.10
อำเภอสา	28022	ARIMA(7,0,2)	27.60
อำเภอปัว	28042	ARIMA(10,0,1)	36.69
อำเภอทุ่งช้าง	28053	ARIMA(9,0,1)	23.47
พิจิตร			
อำเภอเมืองพิจิตร	38012	ARIMA(2,1,1)	26.31
อำเภอโพทะเล	38032	ARIMA(1,1,1)	30.77
อำเภอตะพานหิน	38042	ARIMA(7,1,1)	30.24
อำเภอสามัจนา	38052	ARIMA(1,0,2)	40.20
อำเภอโพธิ์ประทับช้าง	38062	ARIMA(3,1,1)	48.33
จังหวัดพิษณุโลก			
อำเภอเมืองพิษณุโลก	39013	ARIMA(7,0,1)	28.30
จังหวัดแพร่			
อำเภอเมือง	40013	ARIMA(4,0,1)	27.72
อำเภอสูงเม่น	40022	ARIMA(3,0,2)	42.45
อำเภอสอง	40043	ARIMA(1,0,2)	35.84
อำเภอคลอง	40052	ARIMA(1,0,2)	40.05
อำเภอวังชิ้น	40062	ARIMA(1,0,1)	38.04
หน่วยป้องกันป่าที่ 15 อำเภอสอง	40082	ARIMA(4,0,2)	48.64
อำเภอเด่นชัย	40092	ARIMA(4,1,1)	24.13
สถานี Y.20 อำเภอสอง	40111	ARIMA(1,1,1)	22.96

**ตารางที่ 3** แบบจำลอง ARIMA ที่ใช้ในการพยากรณ์ฝนสะสมราย 6 เดือน(มกราคมถึงมิถุนายน)  
ของสถานีวัดน้ำฝนในอุ่มน้ำยมและบริเวณใกล้เคียง (ต่อ)

ชื่อสถานี	รหัสสถานี	แบบจำลองที่เหมาะสม	ค่าความผิดพลาด(%)
จังหวัดสุโขทัย			
อำเภอเมือง	59012	ARIMA(2,1,1)	48.98
อำเภอป้านด่านลานหอย	59062	ARIMA(4,1,1)	30.15
อำเภอคีรีมาศ	59082	ARIMA(6,0,1)	39.93
สถานี Y.6 อำเภอศรีสัชนาลัย	59121	ARIMA(7,1,1)	37.08
สถานี Y.14 อำเภอศรีสัชนาลัย	59131	ARIMA(5,0,2)	30.66
อำเภอศรีนคร	59162	ARIMA(5,0,2)	21.71
จังหวัดอุตรดิตถ์			
อำเภอเมืองอุตรดิตถ์	70013	ARIMA(1,0,1)	27.19
อำเภอพิษย	70042	ARIMA(4,0,1)	35.33
อำเภอตระอน	70052	ARIMA(2,1,1)	35.72
อำเภอท่าปลา	70062	ARIMA(1,0,1)	40.63
จังหวัดพะเยา			
อำเภอปง	73032	ARIMA(7,0,2)	23.70
อำเภอเชียงม่วน	73082	ARIMA(1,0,1)	36.98
ค่าเฉลี่ย			34.39